2021年11月12日(金)

E会場

重質油処理

[2E05-08] 重質油処理

座長:松元 雄介(日揮触媒化成(株))

10:30~11:30 E会場 (函館アリーナ スタジオA)

[2E05] 直接脱硫触媒の堆積スケール分析

〇関本 敦久 1 、阿部 正樹 1 、飯塚 千絵 1 、宮成 節子 1 (1.

コスモ石油株式会社)

10:30 ~ 10:45

[2E06] リモナイト触媒を用いたスラリー床水素化分解プロセスの触媒活性劣化を考慮した新規反応モデル 〇佐藤 秀紀¹、川井 英司¹、藤井 重孝¹ (1. 千代田化工建設株式会社 石油・化学・新エネルギープロセス設計部) 10:45 ~ 11:00

[2E07] ゲル骨格補強法を用いたメソポーラスシリカと β-ゼオライトの同時発生による新しい階層構造触媒 の作製と接触分解反応性

〇押村 春菜 1 、森 和哉 1 、松浦 真也 1,2 、橋本 忠範 1 、石原 篤 1 (1. 三重大学大学院工学研究科、2. 三重県工業研究 所)

11:00 ~ 11:15

[2E08] 熱交換器チューブ表面の汚れ形成に関する検討 ○飯塚 喜啓¹、深津 直矢¹、小森 一幸¹ (1. コスモ石油株式 会社)

11:15 ~ 11:30

重質油処理

[2E05-08] 重質油処理

座長:松元 雄介(日揮触媒化成(株))

2021年11月12日(金) 10:30 ~ 11:30 E会場 (函館アリーナ スタジオA)

- [2E05] 直接脱硫触媒の堆積スケール分析
 - ○関本 敦久¹、阿部 正樹¹、飯塚 千絵¹、宮成 節子¹ (1. コスモ石油株式会社)

10:30 ~ 10:45

- [2E06] リモナイト触媒を用いたスラリー床水素化分解プロセスの触媒活性劣化を考慮 した新規反応モデル
 - 〇佐藤 秀紀¹、川井 英司¹、藤井 重孝¹ (1. 千代田化工建設株式会社 石油・化学・新エネルギープロセス設計部)

10:45 ~ 11:00

- [2E07] ゲル骨格補強法を用いたメソポーラスシリカと β -ゼオライトの同時発生による新しい階層構造触媒の作製と接触分解反応性
 - 〇押村 春菜 1 、森 和哉 1 、松浦 真也 1,2 、橋本 忠範 1 、石原 篤 1 (1. 三重大学大学院工学研究科、2. 三重県工業研究所)

11:00 ~ 11:15

- [2E08] 熱交換器チューブ表面の汚れ形成に関する検討
 - ○飯塚 喜啓¹、深津 直矢¹、小森 一幸¹ (1. コスモ石油株式会社)

11:15 ~ 11:30

直接脱硫触媒の堆積スケール分析

(コスモ石油) ○関本 敦久・阿部 正樹・飯塚 千絵・宮成 節子

1. 緒言

直接脱硫装置は常圧残渣や減圧残渣中に含まれる硫黄分を除去するプロセスであり、圧力損失(△P)の上昇に伴い運転制約が生じることがある。これまでの検討で我々はErgun式¹)とLarkin式²)をベースに、脱硫触媒間に形成される堆積スケールをコーキング(炭素分)と金属分に分けてパラメータ化した推定式を組み立て、精度良く△Pを推定することに成功した³,4%。本報告では△P上昇が観測された際に直接脱硫装置から抜き出した堆積スケールの分析結果を報告する。

2. 実験

直接脱硫装置から抜き出した脱硫触媒と堆積スケールの塊をソックスレー抽出し、油分を除去したものを分析試料とした(Fig. 1)。分析装置は Fig. 2 に示した日本電子社製電子プローブマイクロアナライザ(EPMA, JXA-8530F)を用い、Fe・S・Cを含む数元素の元素マッピング像を取得した。EPMA 分析では試料表面が平滑である必要があるため、固形物試料をグラインダーで適切な大きさに加工した後、自動研磨機を用いて断面を平滑化した。なお、今回のように空隙率が高く脆い試料を加工する際には樹脂包埋を行うことが一般的であるが、今回は C の分布も確認するため樹脂は利用せずに研磨を行っている。





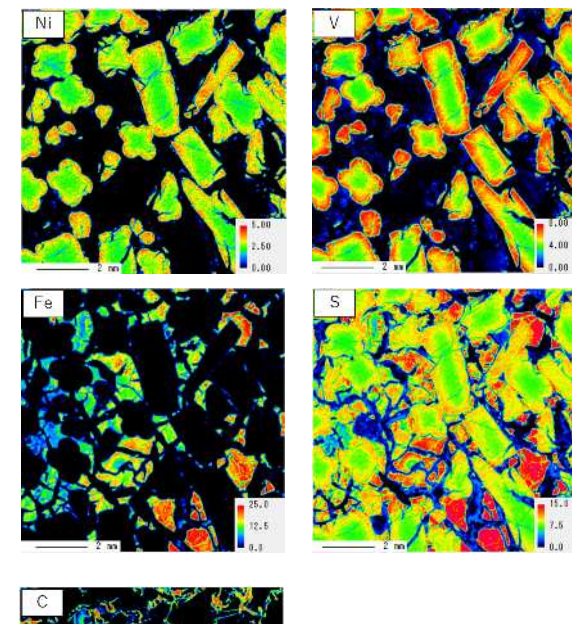
Fig. 1 分析試料

Fig. 2 分析装置

3. 結果および考察

得られた元素マッピング像を Fig. 3 に示した。Ni と V は脱硫触媒表面から内部へ浸透している様子が 観測された一方、Fe は触媒内に浸透せず触媒間の空隙に堆積していることが確認された。S については、 触媒内部だけでなく Fe と同じ箇所にも分布していた。この結果から Fe は硫化鉄の状態であることが

示唆された。なお、試料を粉砕、均質化し粉末X線回折(XRD)により結晶相同定を試みたところ、Fe は主として Fe_7S_8 の状態をとっていることが確認された。ここでC に着目すると、Fe の周囲を取り囲むように分布していた。触媒間に堆積した硫化鉄が触媒として働きコークの生成を促進したことが示唆された。なお、牛尾ら 5)は、直接脱硫プロセスにおける Fe_7S_8 などの鉄系夾雑物には脱水素反応を促進させる触媒作用があることを報告しており、今回の検討結果も同様の結果を示した。



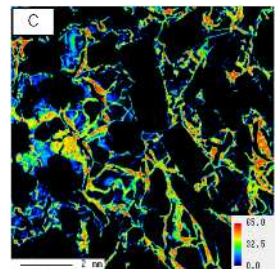


Fig. 3 元素マッピング像

- 1) Ergun, S., Chem. Eng. Prog, 46, (11), p89(1952).
- 2) R. P. Larkins, et al., A. I. Ch. E. Journal, 7, 2, p231-239(1961).
- 3) コスモ石油(株), 飯塚ら, 特開 2020-37096, 2020-3-12.
- 4) コスモ石油(株), 飯塚ら, 特開 2020-179377, 2020-11-5.
- 5) 牛尾ら, 石油学会誌, 41, (1), p59-65(1998).

リモナイト触媒を用いたスラリー床水素化分解プロセスの 触媒活性劣化を考慮した新規反応モデル

(千代田化工建設) ○佐藤秀紀、川井英司、藤井重孝

1. はじめに

減圧残渣油 (VR) を高効率で分解し、付加価値の高い軽質及び中間留分を得るために開発されたスラリー床水素化分解プロセスであるSPH(Slurry Phase Hydrocracking)の最適なプロセス設計及び運転を行うことを目的とし、反応モデルを開発した。本発表では、触媒活性劣化を考慮した水素化分解反応モデルを提案する。

2. 実験

ガス流通式オートクレーブ装置を用いて水素化分解実験を行った。原料油には中東原油由来のVRを用い、水素化分解触媒にはリモナイト触媒を用いた。[1]

3. 結果・考察

水素化分解反応によって得られた製品収率を基に、図1に示す反応モデルを構築した。本反応モデルでは、分解生成物を沸点や溶剤により C1~C8 の擬成分 (ランプ) に分画し、反応パスを定義した。C6,C7 及び C8 は中間留分及び軽質留分であり、C5 は VGO、重質成分である C1,C2,C3 及び C4 は VR を溶剤により可溶、不溶かで分画定義した。なお、図1において、各ランプを繋いだ矢印は反応経路を示している。

次に、反応モデルと実験により得られた製品 収率が最小誤差となるように、各反応パスの速 度定数を決定した。その結果、反応時間 22.8 分 で得られた反応速度定数を反応時間 107.8 分 の製品収率予測に適用すると、モデルによる製 品収率と実験で得られた製品収率の乖離が大 きくなった。同様に、反応時間107.8分でフィ ッティングした反応速度定数を反応時間 22.8 分の製品収率予測に用いると、モデルと実デー タの予測誤差の乖離が大きくなることが分か った。図2では、反応時間22.8分での製品収 率をフィッティングさせた後、その反応速度定 数を用いて算出される C1 及び C2 の製品収率 の予測を例として実線で示した。破線は、モデ ルを反応時間 107.8 分の製品収率にフィッテ ィングさせた後、その反応速度定数を用いて算 出される C1 及び C2 の製品収率の予測である。 この図が示すように、分解反応において反応速

度定数は反応時間と共に変化しており、触媒活性が反応時間の経過と共に低下していることが示唆された。そこで本研究では、反応モデルに触媒活性劣化係数を導入し、反応速度定数の時間変化を表すことができるようにした。これにより、反応前期から後期にかけて触媒活性の変化に対応した製品収率の変化がシミュレーション可能となった。

4. 今後の課題

SPH プロセスでは高分解率達成のために未分解の VR をリサイクルし、原料 VR に混ぜ反応場へ供給するが、本モデルはリサイクル VR を考慮したモデルになっていない。今後リサイクルを考慮した反応モデルへ改良し、プロセスの最適化を行っていく予定である。

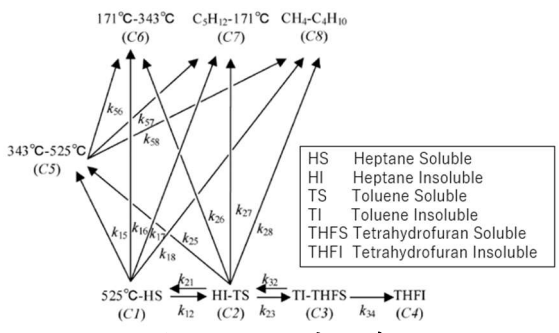


図 1 SPH 反応モデル

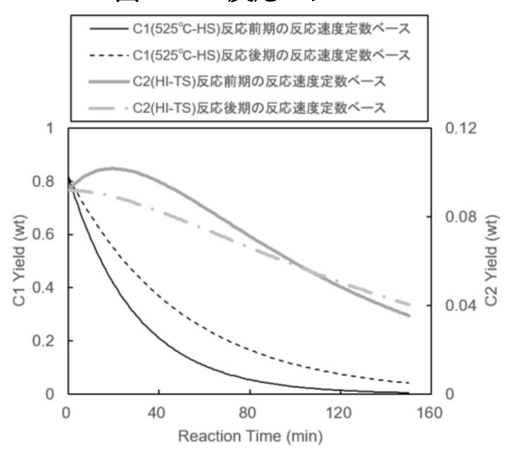


図2 反応前期及び後期における反応速度の違い

(参考文献)

1. E.Kawai, S.Fujii, H.Sato, Y.Wada, and D.Takeda, *Journal of the Japan Petroleum Institute*, **63**,(4),184-196(2020)

ゲル骨格補強法を用いたメソポーラスシリカと β-ゼオライトの 同時発生による新しい階層構造触媒の作製と接触分解反応性

(三大院工1・三工研2) ○押村春菜1・転りかずまれる・松浦真也1.2・橋本忠範1・石原 第1

1. 緒言

近年、重質留分の接触分解において、高活性で高選択的な触媒の開発が求められており、様々な試みが行われている $^{1-7}$ 。我々は、接触分解に用いるためのマトリックス成分に着目し、非常に大きなメソ孔を有するマトリックスを調製するためのゲル骨格補強法を ZSM-5 調製時に用いることにより、外側にメソポーラスシリカ、内側に ZSM-5 を含有する均一な階層構造触媒を一段で合成することができた。本研究では、 β -ゼオライト調製時にゲル骨格強化法を適用し、内側にミクロ孔を有する β -ゼオライト、外側にメソ孔を有するシリカを含有する階層構造触媒を一段で調製した。さらに、n-ドデカンの接触分解反応におけるそれらの反応性を検討したので報告する。

2. 実験

触媒作製は、シリカ源としてコロイダルシリカ (SiO₂)、アルミナ源としてアルミン酸ナトリウム (NaAlO₂)、NaOH 水溶液、構造規定剤としてテトラ エチルアンモニウムヒドロキシド (TEAOH)を用い て水熱合成法で行った。また、補強溶液としてへキ サメチルジシロキサン(HMDS)-無水酢酸溶液を用い た。結晶化はステンレス製の密封乾燥容器を用い、 135℃で20時間保持し、その後焼成を550℃で4時 間行った。また、硝酸アンモニウム(NH4NO3)を用い てカチオン交換を行い H型のサンプルを作製した。 サンプル名は、GSR-4HS-H-βを例にすると、ゲル骨 格補強法を表す GSR、SiO₂ に対する補強溶液中の HMDS のモル比 0.04 に 100 をかけた値として 4、 HMDS の省略 HS、カチオンの型 H⁺を表す H を β の前に表記した。触媒のキャラクタリゼーションは、 XRD、窒素吸脱着および NH2-TPD 測定と TGA によ るコーク定量を行った。

反応実験は、固定床流通式反応装置を用い、触媒 $1.0 \,\mathrm{g}$, $500 \,^{\circ}\mathrm{C}$ 、n-ドデカン $(n\text{-}C_{12}\mathrm{H}_{26})\,1.3 \,\mathrm{ml/}\,\mathrm{min}$ 、 $80 \,\mathrm{秒間}$ の条件で行った。その後、窒素 $(30 \,\mathrm{mL/}\,\mathrm{min})$ を 用い、気体および液体生成物を回収し、GC-FID で分析した。

3. 結果および考察

HMDS:SiO₂(HS)比が 10 では XRD でゼオライト結 晶が見られなかったが、5 でゼオライト結晶が観察 され、4.5 (GSR-4.5HS-H-β)で結晶がさらに成長し、4 (GSR-4HS-H-β)では β-ゼオライト単独とほとんど同 じXRD の積分強度を示した。また、HS 比が 4 のサ ンプルではほとんどメソ孔が成長していなかったが、 4.5 および 5 のサンプルではメソ孔が発達し、BJH 細 孔容積がそれぞれ 0.34 および 0.76cm³/g、BJH 表面 積がそれぞれ 50 および 76m²/g を示した。HS 比が 4 および 4.5 の触媒を用いて、n-ドデカンの接触分解 を行った結果 (Table 1)、HS4.5 では HS4 よりも β-ゼ オライト含有量が減少したが、転化率は86%から 73%へのわずかな減少に留まった。HS4と HS4.5 で は、ガス生成物とガソリン留分で大きな差はなかっ た。HS4では、HS4.5よりも高い分枝/直鎖比(iso-/n-)、 低いオレフィン/パラフィン比(O/P)と多分枝/単分枝 比(m/s)を示し、ゼオライト含有量と関係しているこ とが示唆された。また、RON 値は、いずれも 100 を 超え高い値を示した。

1) A. Ishihara, Fuel Process. Technol., 2019, 106116 (pp. 1-37). 2) Mori et al., Catal. Sci. Technol., 2019, 9, 3614-3618. 3) Matsuura et al., Appl. Catal., 2021, 610, 117959. 4) Matsuura et al., Energy Fuels, 2020, 34, 7448–7454. 5) Matsuura et al., J. Por. Mater., 2021 in press, 6) Tsukamoto et al., Catal. Today, 2018, 303, 123–129. 7) Tatebe et al., Ind. Eng. Chem. Res. 2018, 57, 14394–14405.

Table 1 Product distribution and catalytic properties of each catalyst

Catalyst	Product distribution (wt.%)			Conv.	Reco.	Parameters in gasoline fraction			
	C1-C4	Gasoline (C5-C11)	C12-	(%)	(%)	Olefin / Paraffin	iso-/ n-	multi / single branch	RON
GSR-4HS-H-β	56	43	0.38	86	97	2.4	6.16	0.27	115
GSR-4.5HS-H-β	55	45	0.27	73	98	3.0	3.18	0.34	112

熱交換器チューブ表面の汚れ形成に関する検討

(コスモ石油) ○飯塚 喜啓・深津 直矢・小森 一幸

1. 緒言

貴重な石油資源を有効に活用し、かつ高い競争力 を得るためには石油精製装置における効率的な熱工 ネルギーの使用が重要である。石油精製プロセスを はじめとした化学プラントを構成する機器の中でも、 廃熱を回収・利用することのできる熱交換器は必要 不可欠な機器であり、プロセスに必要となる熱エネ ルギーの多くを担っている。一方で、熱交換器はプ ロセスの連続運転に伴って伝熱効率低下や圧力損失 増加といった課題を生じることもあり、装置によっ ては連続運転のボトルネックとなることさえある。 一般に上記のような課題は熱交換器内部の汚れによ って引き起こされることが多く、汚れ発生原因の一 つとして流体中に溶解した酸素の影響が指摘りされ ている。そして溶存酸素をはじめとした汚れの原因 検討、対策検討を行うためには、メカニズム解明は もちろんのこと、実際の熱交換器に即した形での検 証も極めて重要である。

本研究ではプロセス流体が熱交換器伝熱面に形成する汚れの影響について、ラボスケールのプロセス模擬装置を用い、特に原料油組成や溶存酸素に着目した検討を行った。また、本報では既報よりも重質な原料油に関する汚れの形成を評価した。

2. 実験

熱交換器における汚れの形成と伝熱変化を評価するため、溶存酸素量の異なる原料油(内部流体)についてラボスケールの高温流体プロセス模擬装置(Hot Liquid Process Simulator)を用いて検討を行った。

図1に装置の概要を示す。模擬装置は、主に原料油タンク、ヒーターチューブ、ポンプで構成され、ヒーターチューブを加熱することで流通する原料油を昇温する構造である。ヒーターチューブ自体の温度はチューブ内部の熱電対で制御するため常に一定の温度に保たれるが、原料油が受け取る熱量はヒーターチューブー原料油間の熱伝導率に依存する。このため、連続的に原料油を通液すると、時間経過とともにヒーターチューブ管壁に汚れが付着し、汚れ成分の熱抵抗により原料油が受け取る熱量が減少するため出口温度(出口油温)が低下する。本検討では時間経過と出口油温の推移を汚れの指標として用いた。

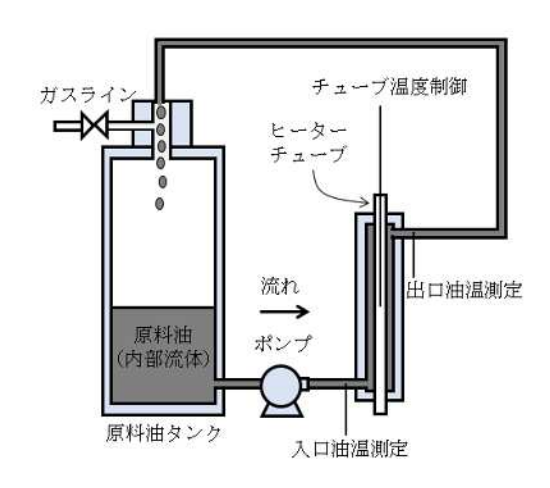


図1 高温流体プロセス模擬装置概要

3. 結果および考察

図2に模擬装置を用いて汚れ評価を実施した結果を示す。時間経過とともに汚れが堆積していき、原料油へ伝わる熱量が減少するため、運転開始時と運転終了時の油温の差が大きいほど汚れの堆積量が多く、小さいほど汚れが少ないと判断できる。

実験の結果、原料油から酸素を極力除去した条件では一定時間連続通液した後も、ほとんど出口油温の低下を生じなかった。一方で原料油に酸素を導入し、溶存酸素量を増加させた条件では著しい温度低下を生じた。また、実験終了後にヒーターチューブおよび出口配管の開放点検を行ったところ、明らかに汚れ物質が付着・堆積していることを目視にて確認した。これらの実験結果から、原料油に酸素が含まれることで熱交換器において汚れ形成が助長されること、および模擬装置を用いることで伝熱に与える影響を評価可能であることを確認した。

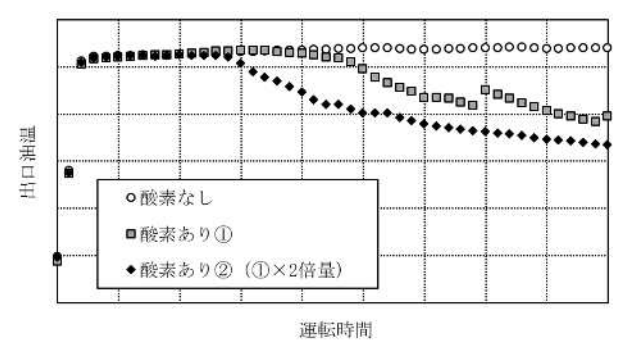


図2 出口油温の推移

¹⁾ Braun, R., Corrosion 77, 106(1977).